

# DIZAJN DIGITALNIH FILTERA

Prof. dr. Nermin Suljanović

-Digitalna obrada signala-

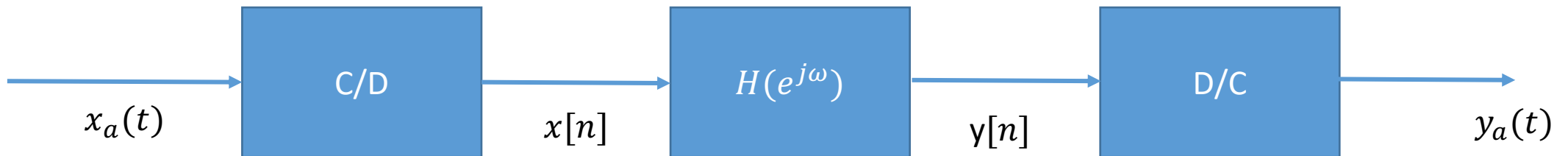
# Uvod

- Filteri su značajna klasa LTI sistema.
- **Filter** = sistem koji propušta komponente u ulaznom signalu određene frekvencije a ostale potpuno odbacuje.
- Filter se implementira na digitalnoj platformi i obično koristi za filtriranje signala koji se dobiju postupkom A/D konverzije analognog vremenski-kontinualnog signala.
- Dizajn filtera uključuje korake:
  - specifikacija željenih osobina,
  - aproksimacija specifikacije primjenom kauzalnih vremenski-diskretnih sistema, i
  - realizacija sistema.
- Specifikacija se daje u frekventnom domenu!

# Specifikacija filtera

- Implementacija filtera je predstavljena na slici.
- Ako je ulazni signal frekventno ograničen i ako je frekvencija uzorkovanja dovoljno velika da se izbjegne preklapanje spektara, cjelokupni sistem se ponaša kao vremenski kontinualan sistem sa frekventnim odzivom:

$$H_{eff}(j\Omega) = \begin{cases} H(e^{j\Omega T}), & |\Omega| < \pi/T \\ 0, & |\Omega| > \pi/T \end{cases}$$



# Specifikacija filtera

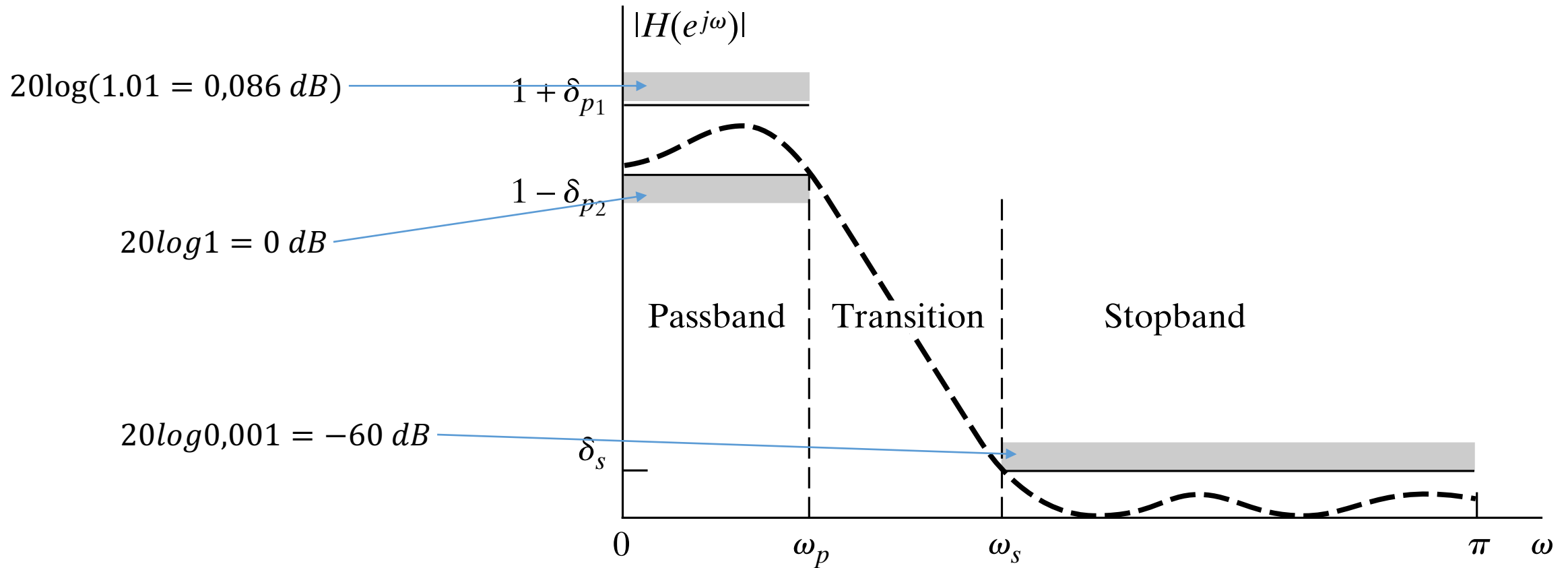
- U ovakvim slučajevima je jednostavno prevesti specifikacije sa vremenski-kontinualnog filtera u vremenski diskretni filter kroz relaciju  $\omega = \Omega T$ .
- Frekventni odziv  $H(e^{j\omega})$  je specificiran na jednom periodu kroz jednačinu

$$H(e^{j\omega}) = H_{eff} \left( j \frac{\omega}{T} \right), |\omega| < \pi$$

# Primjer: Određivanje specifikacije za vremenski-diskretni filter

- Uzmimo za primjer vremenski-diskretni filter koji treba koristiti za NF filter vremenski-kontinualnih signala.
- Zadana frekvencija uzorkovanja je  $10^4$  uzoraka/s ( $T = 10^{-4}$  s) i da filter ima sljedeće osobine:
  1. Pojačanje  $|H_{eff}(j\Omega)|$  treba biti  $\pm 0.01$  od jedinice u frekv. opsegu  $0 \leq \Omega \leq 2\pi \cdot 2000$ .
  2. Pojačanje ne smije biti veće od 0.001 u frekventnom opsegu  $2\pi \cdot 3000 \leq \Omega$ .
- Ove specifikacije su prikazane na sljedećoj slici, uz:  $\delta_1 = 0,01$ ;  $\delta_2 = 0,01$ ;  $\Omega_p = 2\pi \cdot 2000$ ;  $\Omega_s = 2\pi \cdot 3000$
- U propusnom opsegu, idealno pojačanje je 1 ali može varirati od  $1 - \delta_1$  do  $1 + \delta_1$ .

# Primjer: Određivanje specifikacije za vremenski-diskretni filter



# Primjer: Određivanje specifikacije za vremenski-diskretni filter

- U propusnom opsegu, amplituda frekventnog odziva treba biti u granicama:

$$(1 - \delta_1) \leq |H(e^{j\omega})| \leq (1 + \delta_1), |\omega| \leq \omega_p \quad \omega_p = 2\pi \cdot 2000 \cdot 10^{-4} = 0,4\pi \text{ rad/s}$$

- U neprpusnom opsegu treba da vrijedi:

$$|H(e^{j\omega})| \leq \delta_2, \omega_s \leq |\omega| \leq \pi \quad \omega_s = 2\pi \cdot 3000 \cdot 10^{-4} = 0,6\pi \text{ rad/s}$$

- U nastavku ćemo specificirati filtere u smislu vremenski-diskretne frekventne varijable  $\omega$ .

- **NISMO POSTAVILI NIKAKVA OGRANIČENJA NA FAZNU KARAKTERISTIKU, DOK SE LOGIČNO POSTAVLJAJU ZAHTJEVI NA STABILNOST I KAUZALNOST SISTEMA!**

# Dizajn IIR filtera

- Transformacija vremenski-kontinualnog filtera, koji zadovoljava specifikacije, u vremenski-diskretni filter.
- Osnovna svojstva vremenski-kontinualnih filtera se moraju zadržati u frekventnom-odzivu vremenski-diskretnih filtera (*potrebno imaginarnu osu u s-ravni preslikati u jedinični krug u z-ravni*).
- **Stabilan** vremenski-kontinualni filter želimo preslikati u **stabilan** vremenski-diskretni filter.
- Vremenski-kontinualan filter ima polove u lijevoj poluravni s-ravni implicira da će vremenski-diskretni filter imati **polove unutar jediničnog kruga** u z-ravni.



# Dizajn IIR filtera pomoću invarijantnosti impulsnog odziva

- Impulsni odziv vrem.-diskretnog filtera se bira proporcionalno ekvidistantnim uzorcima u impulsnom odzivu vrem.-kontinualnog filtera:

$$h[n] = T_d h_c(nT_d), \quad T_d \rightarrow \text{period uzorkovanja}$$

- Zanima nas veza između frekventnih odziva vrem.-diskretnih i vrem.-kontinualnih filtera:

$$H(e^{j\omega}) = \sum_{k=-\infty}^{\infty} H_c\left(j\frac{\omega}{T_d} + j\frac{2\pi}{T_d}k\right)$$

$H_c \rightarrow \text{frekv. odziv vrem. - kontinualnog filtera}$

- Ako je vremenski-kontinualni filter sa ograničenim propusnim opsegom tako da je

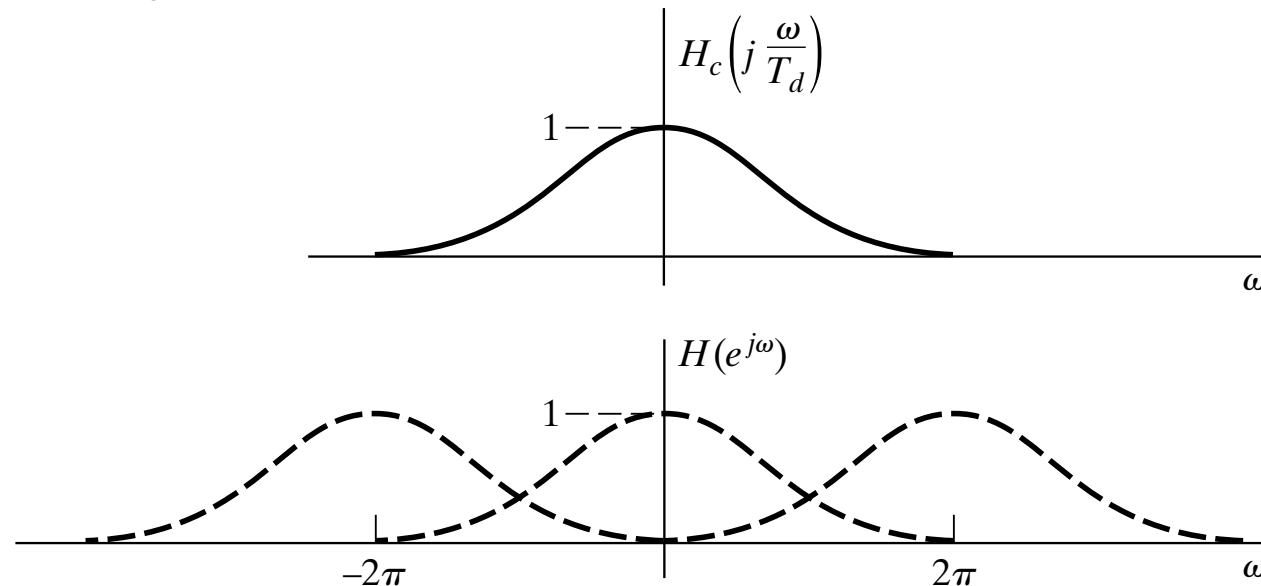
$$H_c(j\Omega) = 0 \text{ za } |\Omega| \geq \pi/T_d$$

- tada je

$$H(e^{j\omega}) = H_c\left(j\frac{\omega}{T_d}\right), |\omega| \leq \pi \quad (*)$$

# Dizajn IIR filtera pomoću invarijantnosti impulsnog odziva

- Frekventni odzivi vremenski-kontinualnog i vremenski-diskretnog filtera su povezani linearnim skaliranjem frekventne ose, tj.  $\omega = \Omega T_d$ ,  $|\omega| < \pi$ .
- Na žalost, svaki realni vrem-kont. filter nema u potpunosti ograničen propusni opseg pa dolazi do preklapanja između susjednih spektara u manjoj ili većoj mjeri.
- Na višim frekvencijama ova interferencija može biti mala i filter se može dizajnirati na ovaj način.



# Dizajn IIR filtera pomoću invarijantnosti impulsnog odziva

- U prvom koraku se specifikacije za vremenski-diskretan filter transformiraju u specifikaciju za vremenski-kontinualan filter pomoću jednačine (\*).
- Ako napravimo pretpostavku da je preklapanje spektara zanemarivo, specifikaciju za  $H_c(j\omega)$  dobijamo primjenom izraza:

$$\Omega = \omega/T_d$$

- S obzirom da su osnovne specifikacije vezane za vremenski-diskretnu frekvenciju, ako se poveća frekvencija uzorkovanja tada će granična frekvencija vremenski-kontinualnog filtera proporcionalno narasti.
- U praksi se potencijalno preklapanje spektara kompenzira pomoću još strožijih specifikacija, posebno u propusnom opsegu (“stop-band”).

# Dizajn IIR filtera pomoću invarijantnosti impulsnog odziva

- Da bi izveli transformaciju prenosne funkcije, analiziraćemo vremenski-kontinualan filter čija je prenosna funkcija oblika:

$$H_c(s) = \sum_{k=1}^N \frac{A_k}{s - s_k}$$

- Radi jednostavnosti smo pretpostavili da su svi polovi jednostruki. Odgovarajući impulsni odziv je:

$$h_c(t) = \begin{cases} \sum_{k=1}^N A_k e^{s_k t}, & t \geq 0 \\ 0, & t < 0 \end{cases}$$

# Dizajn IIR filtera pomoću invarijantnosti impulsnog odziva

- Impulsni odziv vremenski-diskretnog kauzalnog filtera dobijamo uzorkovanjem  $T_d h_c(t)$ , tj.

$$h[n] = T_d h_c(nT_d) = \sum_{k=1}^N T_d A_k \cdot e^{s_k n T_d} \cdot u[n] = \sum_{k=1}^N T_d A_k (e^{s_k T_d})^n \cdot u[n]$$

- Prema tome, prenosna funkcija vremenski-diskretnog kauzalnog filtera je:

$$H(z) = \sum_{k=1}^N \frac{T_d \cdot A_k}{1 - e^{s_k T_d} \cdot z^{-1}}$$

- Uočavamo da se pol  $s = s_k$  u s-ravni preslikava u pol  $z = e^{s_k T_d}$  u z-ravni.
- Kada je vrem.-kont. sistem stabilan, odgovarajući realni dio  $s_k$  je manji od nule i amplituda  $e^{s_k T_d}$  je manja od 1 tako da je odgovarajući pol unutar jediničnog kruga i kazualan vremenski-diskretni filter je stabilan.
- Relacija između vremenski-kontinualne i vremenski-diskretne frekvencije je linearna!

# Pr: Impulsna invarijantnost sa *Butterworth* filterom

- Dizajniramo vremenski-diskretni NF filter primjernom impulsne invarijantnosti na vremenski-kontinualan *Butterworth* filter.
- Specifikacije vremenski-diskretnog filtera su:

$$0,89125 \leq |H(e^{j\omega})| \leq 1, \quad 0 \leq |\omega| \leq 0,2 \cdot \pi$$

$$|H(e^{j\omega})| \leq 0,17783, \quad 0,3 \cdot \pi \leq |\omega| \leq \pi$$

- S obzirom da se parametar  $T_d$  skraćuje u proceduri impulsne invarijantnosti, izabraćemo  $T_d=1$  tako da je  $\omega = \Omega$ .
- Pretpostavićemo da se efekat preklapanja spektara može zanemariti.
- Želimo dizajnirati vremenski-kontinualni Butterworth za koji je:

$$0,89125 \leq |H_c(j\Omega)| \leq 1, \quad 0 \leq |\Omega| \leq 0,2 \cdot \pi$$

$$|H_c(j\Omega)| \leq 0,17783, \quad 0,3 \cdot \pi \leq |\Omega| \leq \pi$$

# Pr: Impulsna invarijantnost sa *Butterworth* filterom

- S obzirom da je amplituda Butterworth filtera monotona funkcija frekvencije, prethodne dvije jednačine su zadovoljene ako vrijedi:

$$|H_c(j0,2 \cdot \pi)| \geq 0,89125, \quad |H_c(j0,3 \cdot \pi)| \leq 0,17783$$

- Kvadrat amplitudnog odziva Butterworth filtera ima oblik:

$$|H_c(j\Omega)|^2 = \frac{1}{1 + \left(\frac{\Omega}{\Omega_c}\right)^{2N}}$$

- Dizajn se svodi na određivanje parametara  $\Omega_c$  i  $N$ .

$$1 + \left(\frac{0,2\pi}{\Omega_c}\right)^{2N} = \left(\frac{1}{0,89125}\right)^2$$

$$N = 5,8858$$

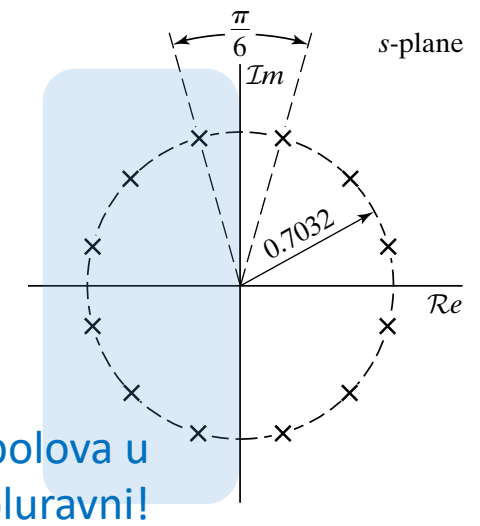
$$1 + \left(\frac{0,3\pi}{\Omega_c}\right)^{2N} = \left(\frac{1}{0,17783}\right)^2$$

$$\Omega_c = 0,70474$$



$$N = 6$$

$$\Omega_c = 0,7032$$



Tri para polova u  
lijevoj poluravni!

# Pr: Impulsna invarijantnost sa *Butterworth* filterom

- Imamo 3 para polova koji se nalaze u lijevoj poluravni s-ravni:  $-0,182 \pm j0,679$ ;  $-0,497 \pm j0,497$ ;  $-0,679 \pm j0,182$

$$H_c(s) = \frac{0,12093}{(s^2 + 0,3640s + 0,4945)(s^2 + 0,9945s + 0,4945)(s^2 + 1,3585s + 0,4945)}$$

- Rastavimo na parcijalne razlomke i iskoristimo transformaciju

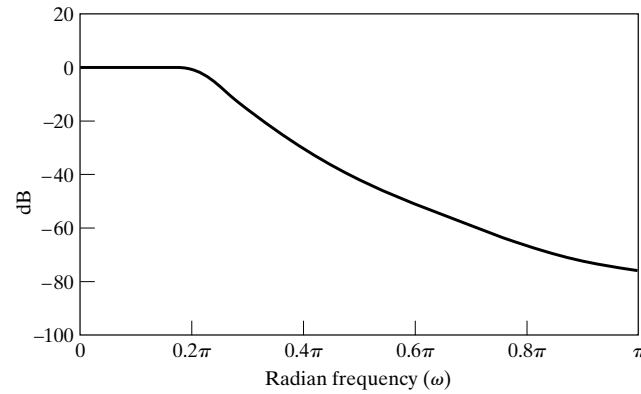
$$H(z) = \sum_{k=1}^N \frac{T_d A_k}{1 - e^{s_k T_d} \cdot z^{-1}}$$

- te kombiniramo konjugovano-kompleksne članove:

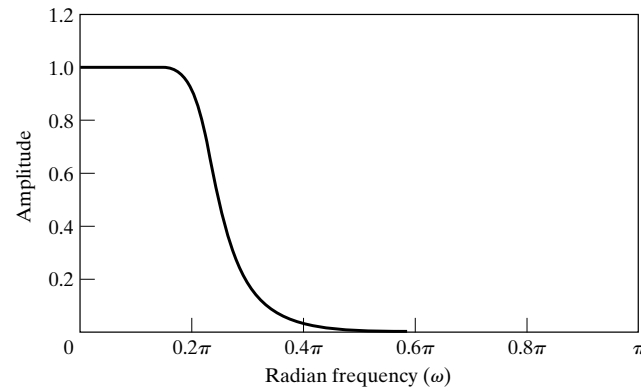
$$H(z) = \frac{0,2871 - 0,4466 \cdot z^{-1}}{1 - 1,2971 \cdot z^{-1} + 0,6949 \cdot z^{-2}} + \frac{-2,1428 + 1,1455 \cdot z^{-1}}{1 - 1,0691 \cdot z^{-1} + 0,3699 \cdot z^{-2}} + \frac{1,8557 - 0,6303 \cdot z^{-1}}{1 - 0,9972 \cdot z^{-1} + 0,2570 \cdot z^{-2}}$$



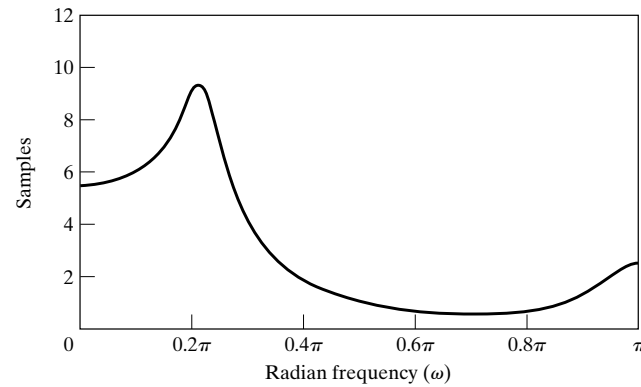
# Pr: Impulsna invarijantnost sa *Butterworth* filterom



(a)



(b)



(c)

# Bilinearna transformacija

- Bilinearna transformacija je algebarska transformacija koja preslikava cijelu  $j\Omega$  osu u s-ravni u jedan obrtaj duž jediničnog kruga u z-ravni.
- S obzirom da je  $-\infty \leq \Omega \leq \infty$ , te da se  $\Omega$  preslikava u  $\omega$  za koje vrijedi  $-\pi \leq \omega \leq \pi$ , ova transformacija mora biti NELINEARNA.
- Bilinearna transformacija odgovara zmjeni s sa:

$$s = \frac{2}{T_d} \left( \frac{1 - z^{-1}}{1 + z^{-1}} \right) \quad (**)$$

- tako da je

$$H(z) = H_c \left( \frac{2}{T_d} \left( \frac{1 - z^{-1}}{1 + z^{-1}} \right) \right)$$

- Period uzorkovanja  $T_d$  je uključen u transformaciju jer se diferencna jednačina koja odgovara  $H(z)$  može dobiti primjenom trapezoidnog integracijskog pravila na diferencijalnu jednačinu koja odgovara  $H_c(s)$ , gdje je  $T_d$  korak u numeričkoj integraciji.

# Bilinearna transformacija

- Da bi odredili osobine bilinearne transformacije, jednačinu (\*\*) riješimo po  $z$ :

$$z = \frac{1 + \left(\frac{T_d}{2}\right) \cdot s}{1 - \left(\frac{T_d}{2}\right) \cdot s}$$

- Zamjenom  $s = \sigma + j\Omega$  dobijamo:

$$z = \frac{1 + \frac{\sigma T_d}{2} + j \frac{\Omega T_d}{2}}{1 - \frac{\sigma T_d}{2} - j \frac{\Omega T_d}{2}}$$

- $\sigma < 0 \rightarrow |z| < 1$  za svako  $\Omega$ .
- $\sigma > 0 \rightarrow |z| > 1$  za svako  $\Omega$ .
- Ako je pol  $H_c(s)$  u lijevoj  $s$ -poluravni, njegova slika u  $z$ -ravni će biti unutar jediničnog kruga.
- **Kauzalan stabilan vremenski-kontinualan filter se preslikava u kauzalan stabilan vremenski diskretan filter!**

# Bilinearna transformacija

- S ciljem da pokažemo da se osa  $j\Omega$  preslikava u jedinični krug, zamijenimo  $s = j\Omega$  u jednačini za  $z$ :

$$z = \frac{1 + j \frac{\Omega T_d}{2}}{1 - j \frac{\Omega T_d}{2}}$$

- Iz prethodne jednačine je jasno da je  $|z| = 1$  za sve vrijednosti  $s$  na  $j\Omega$  osi. Sada je:

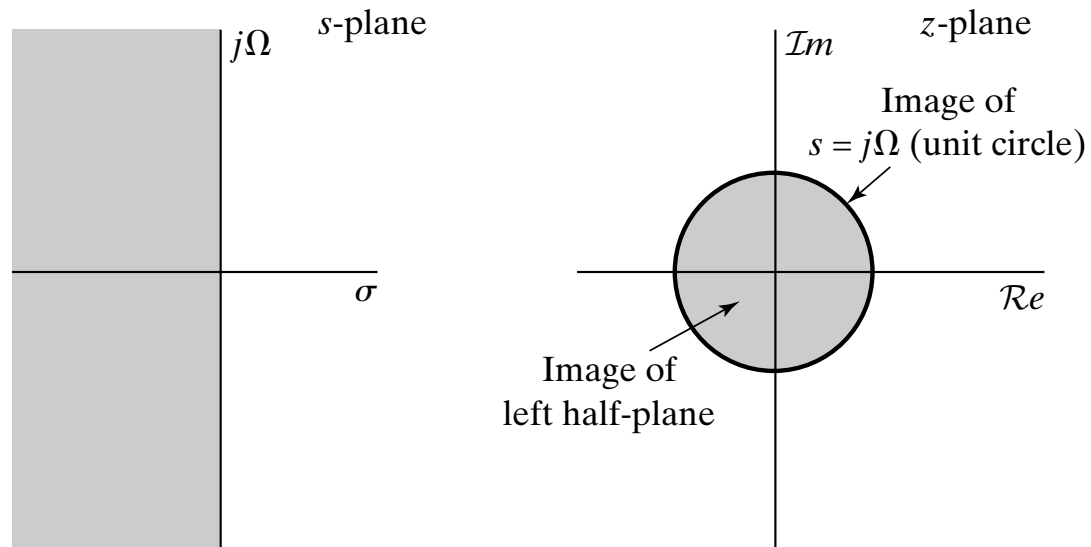
$$e^{j\omega} = \frac{1 + j \frac{\Omega T_d}{2}}{1 - j \frac{\Omega T_d}{2}}$$

- Da bi odredili vezu između  $\omega$  i  $\Omega$ , u jednačini (\*\*) zamijenimo  $z = e^{j\omega}$ :

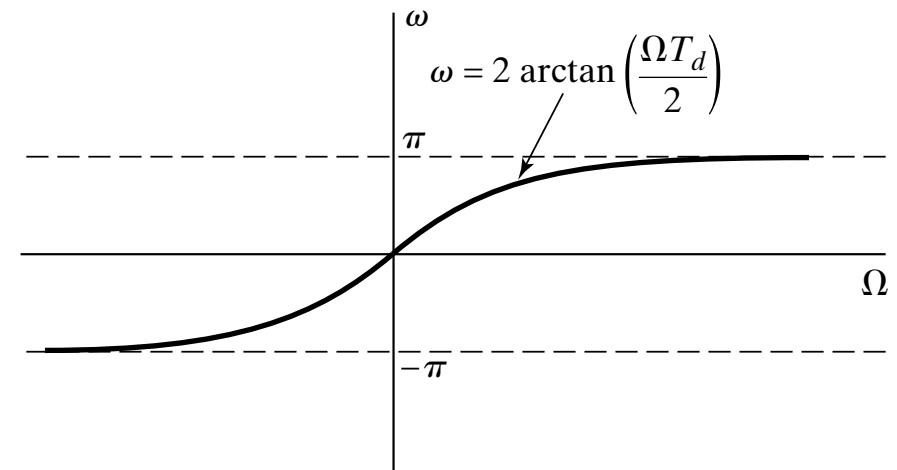
$$s = \frac{2}{T_d} \left( \frac{1 - e^{-j\omega}}{1 + e^{-j\omega}} \right)$$
$$s = \sigma + j\Omega = \frac{2}{T_d} \left[ \frac{2e^{-j\omega/2} \left( j \sin \frac{\omega}{2} \right)}{2e^{-j\omega/2} \left( \cos \frac{\omega}{2} \right)} \right] = \frac{2j}{T_d} \operatorname{tg} \frac{\omega}{2}$$

# Bilinearna transformacija

- Očigledno je  $\sigma = 0$  i  $\Omega = \frac{2}{T_d} \operatorname{tg} \frac{\omega}{2} \rightarrow \omega = 2 \operatorname{arctg} \frac{\Omega T_d}{2}$
- Opseg frekvencija  $0 \leq \Omega \leq \infty$  se mapira u  $0 \leq \omega \leq \pi$ , a  $-\infty < \Omega < 0$  u  $-\pi \leq \omega \leq 0$ .

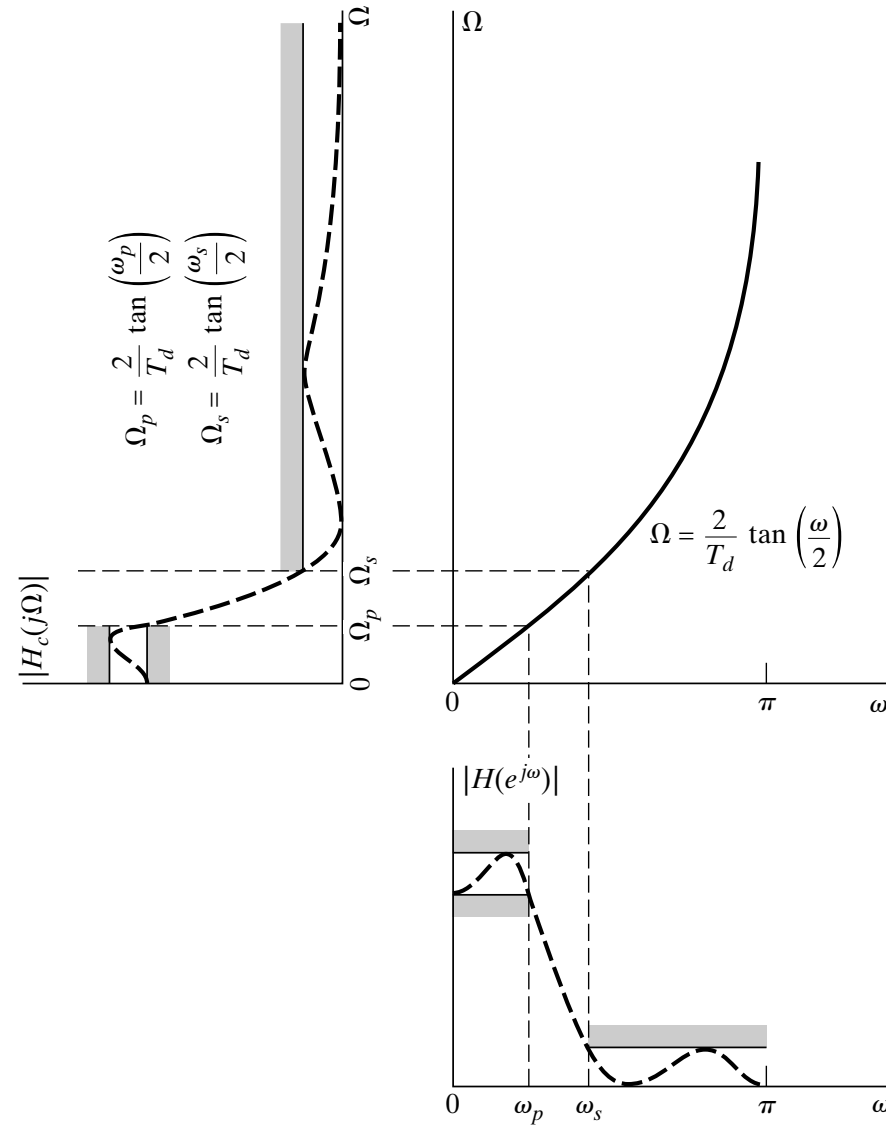


*Mapiranje s-ravni u z-ravan*



*Mapiranje kontinualne  
frekvencije u diskretnu*

# Preslikavanje vremenski-kontinualnog NF filtera u vremenski-diskretan NF filter



# Bilinearna transformacija

- Bilinearna transformacija prevazilazi problem preklapanja spektara jer cijelu imaginarnu osu u s-ravni preslika u jedinični krug u z-ravni.
- Ovo se plaća nelinearnom kompresijom frekventne ose.
- Distorzija frekventne ose se manifestira u preslikavanju fazne karakteristike .
- Za primjer primjenimo bilinearnu transformaciju na filter sa linearnom fazom  $e^{-s\alpha}$ :

$$H_c(s) = e^{-s\alpha} \quad s = \frac{2}{T_d} \left( \frac{1 - z^{-1}}{1 + z^{-1}} \right) \quad \longrightarrow \quad H(z) = e^{-\frac{2}{T_d} \left( \frac{1 - z^{-1}}{1 + z^{-1}} \right) \cdot \alpha}$$

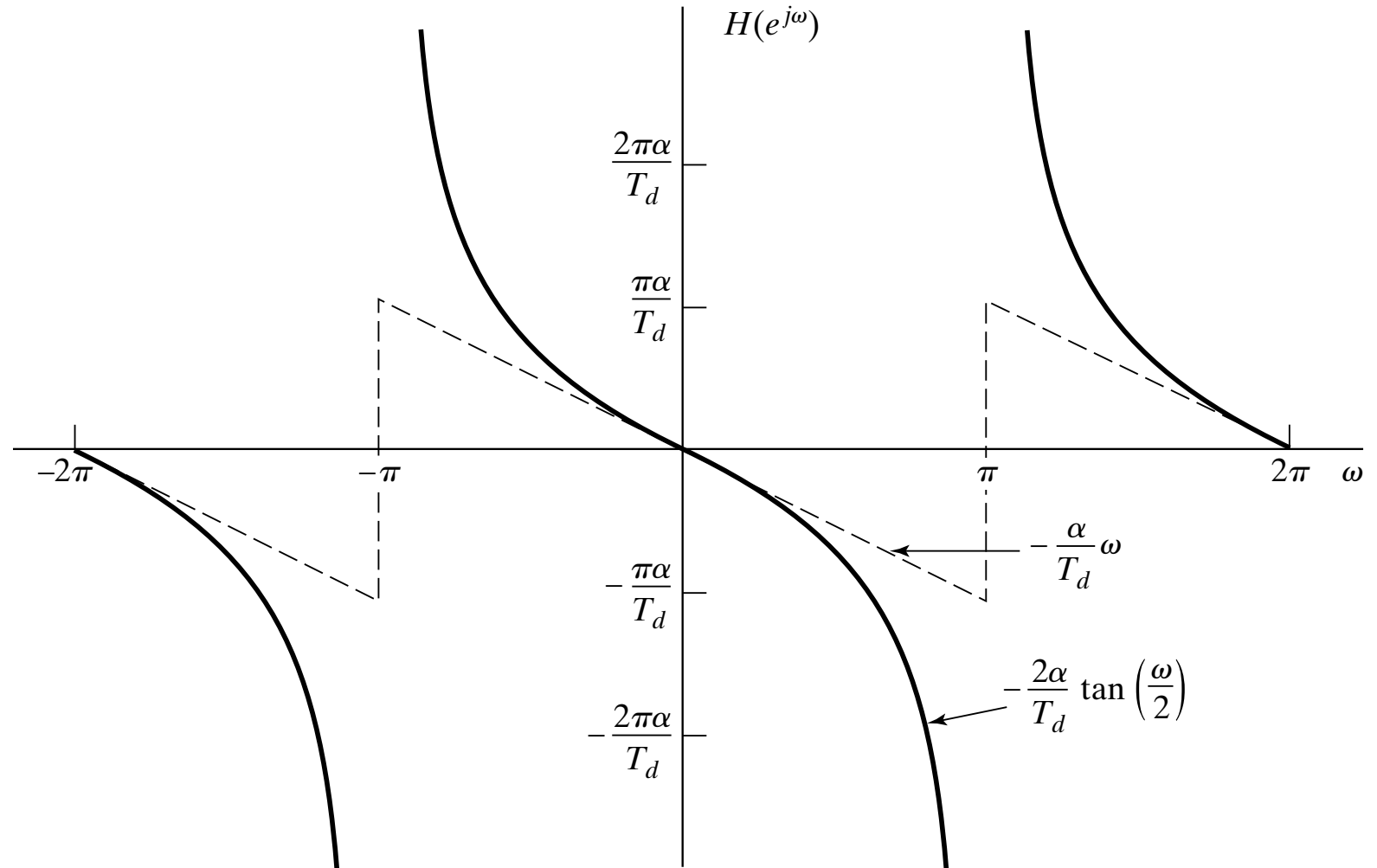
- Izračunamo  $H(z)$  na jediničnom krugu, odnosno uzmemo  $z = e^{j\omega}$  da dobijemo frekventni odziv.

$$\frac{1 - z^{-1}}{1 + z^{-1}} = jtg \frac{\omega}{2} \quad \longrightarrow \quad H(e^{j\omega}) = e^{-j\frac{2\alpha}{T_d}tg\frac{\omega}{2}} \quad arg\{H(e^{j\omega})\} = -\frac{2\alpha}{T_d}tg\frac{\omega}{2}$$

# Bilinearna transformacija

- Kada vremenski-diskretan filter treba zadržati linearnu fazu, to ne možemo postići pomoću bilinearne transformacije.

*Utjecaj bilinearne transformacije na linearnu fazu*





# Dizajn FIR filtera

- Za razliku od IIR filtera, gotovo uvijek su ograničeni na vremenski-diskretne implementacije.
- Tehnike dizajna se temelje na **direktnoj aproksimaciji željenog frekventnog odziva** vremenski-diskretnog sistema.
- Aproksimira se amplitudni odziv FIR sistema uz pretpostavku **linearne faze**.
- Prozorski metod (*Window method*) je najjednostavniji.
- P.p. da se željeni frekventni odziv može predstaviti sa

$$H_d(e^{j\omega}) = \sum_{n=-\infty}^{\infty} h_d[n]e^{-j\omega n} \quad (***)$$

- gdje se impulsni odziv  $h_d[n]$  može predstaviti kao

$$h_d[n] = \frac{1}{2\pi} \int_{-\pi}^{\pi} H_d(e^{j\omega}) e^{j\omega n} d\omega$$

# Dizajn FIR filtera

- Direktan pristup za dobijanje kauzalne FIR aproksimacije sistema je da se ograniči (“zaokruži”) trajanje impulsnog odziva.
- Jednačina (\*\*\*) se može posmatrati kao Fourierov red periodičnog frekventnog odziva  $H_d(e^{j\omega})$ , gdje su uzorci  $h_d[n]$  koeficijenti reda.
- Najlakši način da se dobije kauzalni FIR filter jeste da se definira novi sistem sa impulsnim odzivom  $h[n]$  koji je jednak:

$$h[n] = \begin{cases} h_d[n], & 0 \leq n \leq M \\ 0, & \text{ostalo } n \end{cases}$$

- Općenito,  $h[n]$  možemo predstaviti kao proizvod:

$$h[n] = h_d[n] \cdot w[n]$$

- gdje je  $w[n]$  pravougaoni prozor.

# Dizajn FIR filtera

- $w[n]$  je pravougaoni prozor:

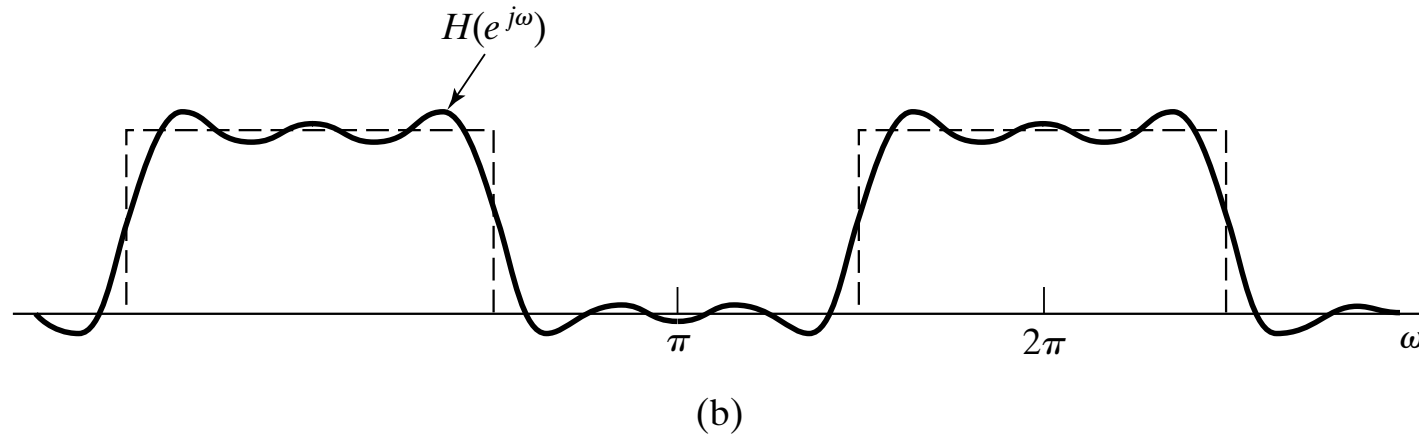
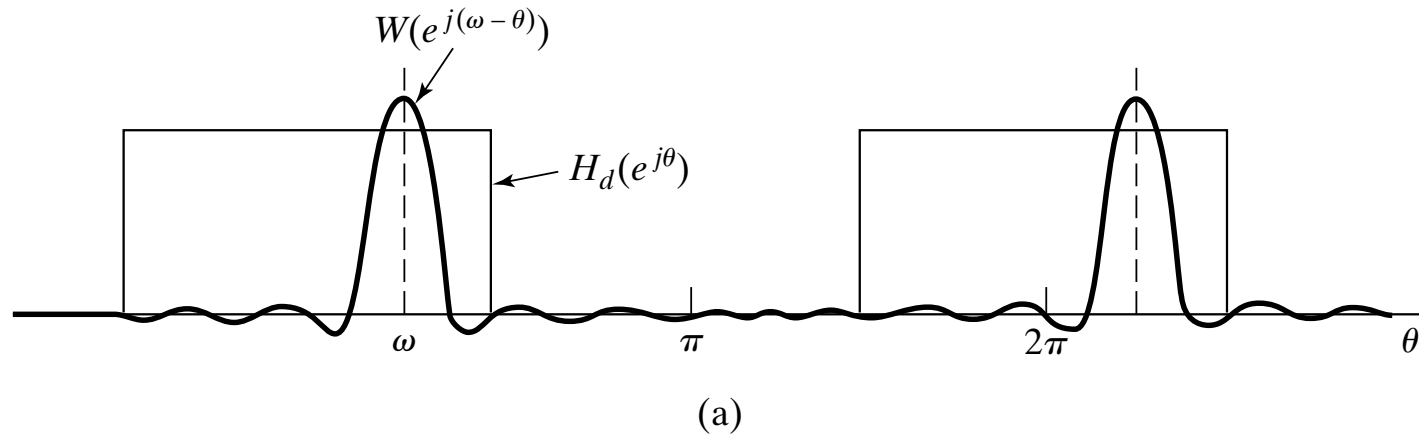
$$w[n] = \begin{cases} 1, & 0 \leq n \leq M \\ 0, & \text{ostalo } n \end{cases}$$

- U frekventnom domenu ovakva modulacija ima za posljedicu:

$$H(e^{j\omega}) = \frac{1}{2\pi} \int_{-\pi}^{\pi} H_d(e^{j\theta}) W(e^{j(\omega-\theta)}) d\theta$$

- $H(e^{j\omega})$  je **periodična konvolucija** željenog idealnog frekventnog odziva sa Fourierovom transformacijom prozora.
- Frekventni odziv  $H(e^{j\omega})$  je “*zamrljana*” verzija željenog frekventnog odziva  $H_d(e^{j\omega})$ .
- Ako je  $w[n] = 1$  za svako  $n$  (nema skraćivanja),  $W(e^{j\omega})$  je periodična povorka  $\delta$  impulsa sa periodom  $2\pi$ , i  $H(e^{j\omega}) = H_d(e^{j\omega})$ .

# Posljedica ograničavanja trajanja impulsnog odziva



# Dizajn FIR filtera

- Ova interpretacija govori da ako izaberemo  $w[n]$  tako da je  $W(e^{j\omega})$  koncentrirano u uskom opsegu frekvencija oko  $\omega = 0$ , tada će  $H(e^{j\omega})$  ličiti na  $H_d(e^{j\omega})$ , osim u tačkama gdje imamo naglu promjenu u  $H_d(e^{j\omega})$ .
- Želimo izabrati  $w[n]$  da traje što je moguće kraće da bi minimizirali izračunavanja u implementaciji, dok  $W(e^{j\omega})$  treba da aproksimira impuls.
- Navedena dva zahtjeva su kontradiktorna, što možemo vidjeti na primjeru pravougaonog prozora.

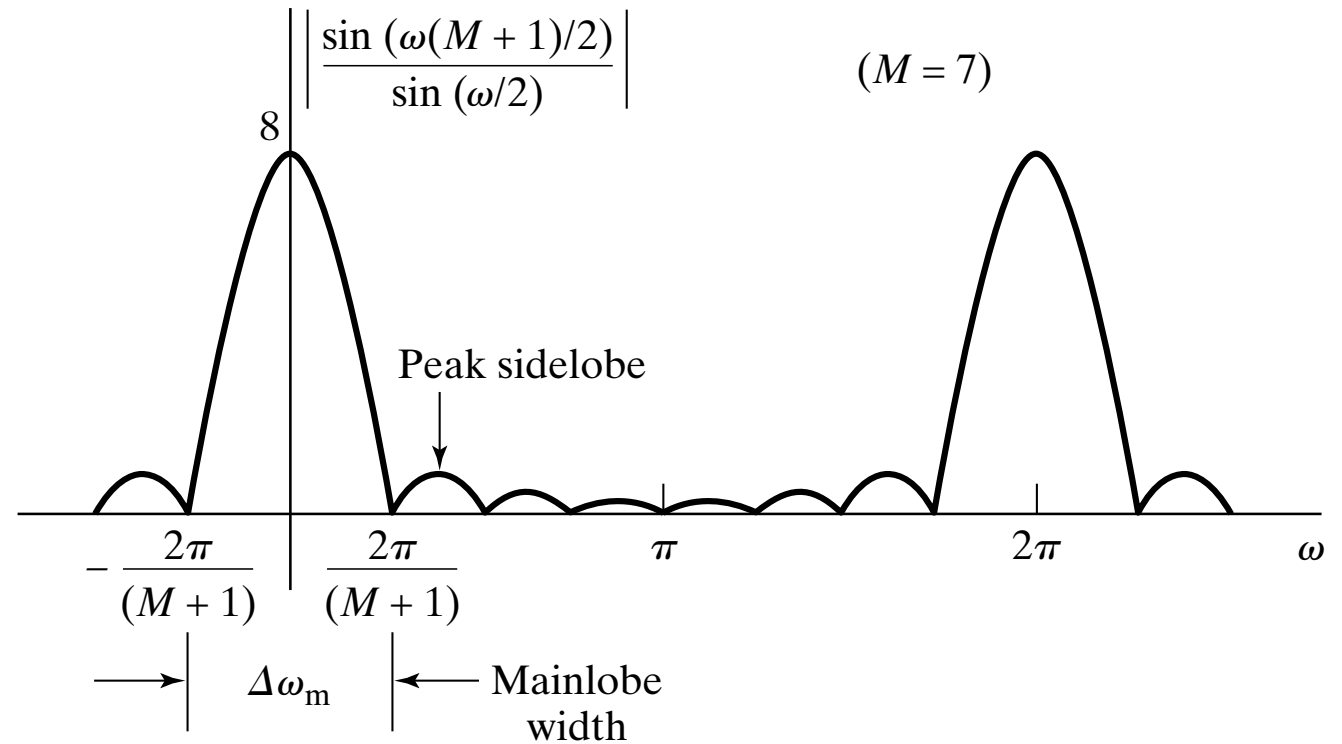
$$W(e^{j\omega}) = \sum_{n=0}^M e^{-j\omega n} = \frac{1 - e^{-j\omega(M+1)}}{1 - e^{-j\omega}} = e^{-j\omega M/2} \frac{\sin \frac{\omega(M+1)}{2}}{\sin \frac{\omega}{2}}$$

- Ima generalno linearnu fazu.
- Sa povećanjem  $M$ , širina glavnog krila se smanjuje.

# Dizajn FIR filtera

- Širina glavnog krila je  $\Delta\omega_m = 4\pi/(M + 1)$ .
- Bočna krila su velika kod pravougaonog prozora, i sa povećanjem  $M$  amplitude osnovnog i bočnih krila rastu.

$W(e^{j(\omega-\theta)})H_d(e^{j\theta})$  oscilira kada svako krilo prolazi mjesto diskontinuiteta u  $H_d(e^{j\omega})$  u skladu sa konvolucijom!



# Dizajn FIR filtera

- U teoriji Fourierovih redova ova pojava neuniformne konvergencije je poznata kao Gibbsov fenomen.
- Rješenje je da prozorska funkcija na obje strane nema nagli prekid, već se prozor glatko približava nuli.
- Ovako se smanjuju bočna krila, ali se proširuje glavno krilo i tranzicijsko područje u tački diskontinuiteta postaje šire.

# Najčešće korišteni prozori

- Pravougaoni

$$w[n] = \begin{cases} 1, 0 \leq n \leq M \\ 0, \text{za ostalo } n \end{cases}$$

- Bartlett

$$w[n] = \begin{cases} \frac{2n}{M}, 0 \leq n \leq M/2 \\ 2 - \frac{2n}{M}, \frac{M}{2} < n \leq M \\ 0, \text{za ostalo } n \end{cases}$$

- Hann

$$w[n] = \begin{cases} 0.5 - 0.5 \cdot \cos\left(\frac{2\pi n}{M}\right), 0 \leq n \leq M \\ 0, \text{za ostalo } n \end{cases}$$



# Najčešće korišteni prozori

- Hamming

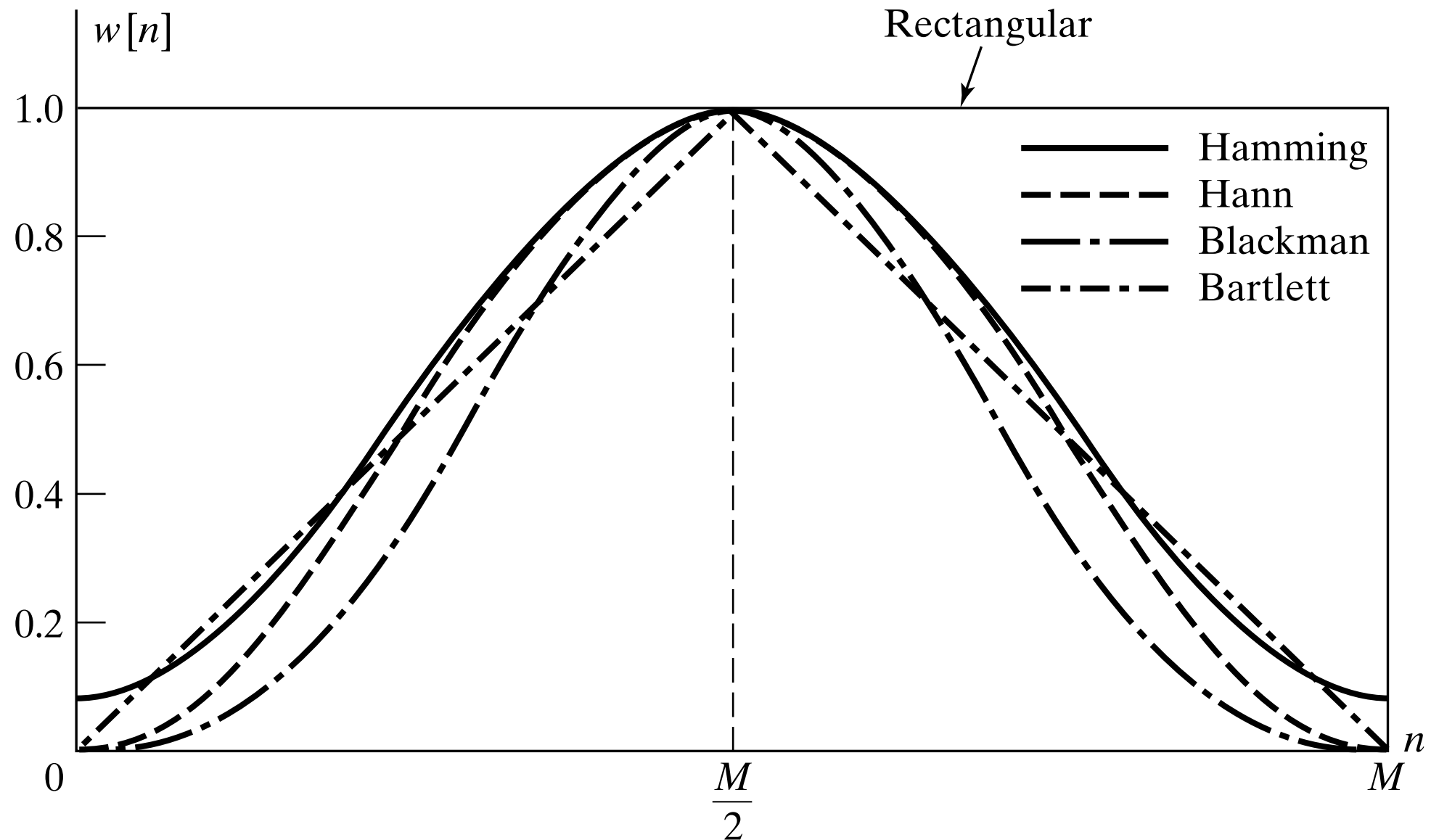
$$w[n] = \begin{cases} 0.54 - 0.46 \cdot \cos\left(\frac{2\pi n}{M}\right), & 0 \leq n \leq M \\ 0, & \text{za ostalo } n \end{cases}$$

- Blackman

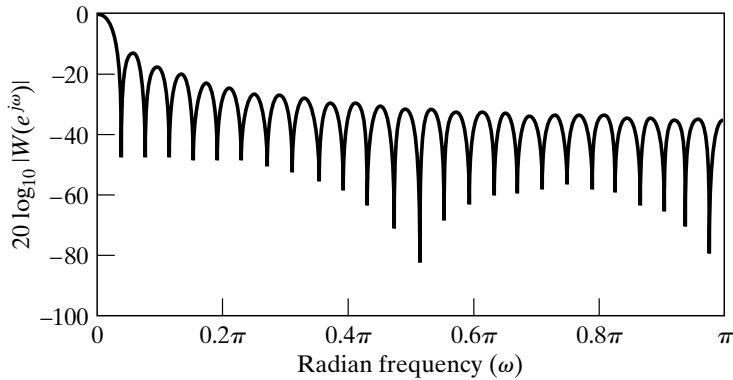
$$w[n] = \begin{cases} 0.42 - 0.5 \cdot \cos\left(\frac{2\pi n}{M}\right) + 0.08 \cdot \cos\left(\frac{4\pi n}{M}\right), & 0 \leq n \leq M \\ 0, & \text{za ostalo } n \end{cases}$$

- Navedeni prozori imaju osobinu da se njihove Fourierove transformacije koncentriraju oko  $\omega = 0$ , a imaju jednostavan oblik za izračunavanje.

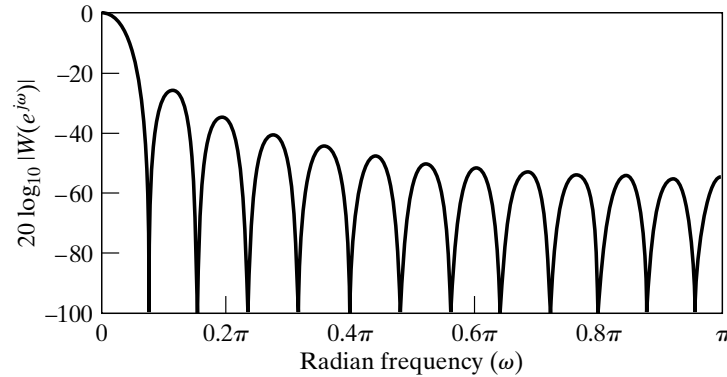
# Najčešće korišteni prozori



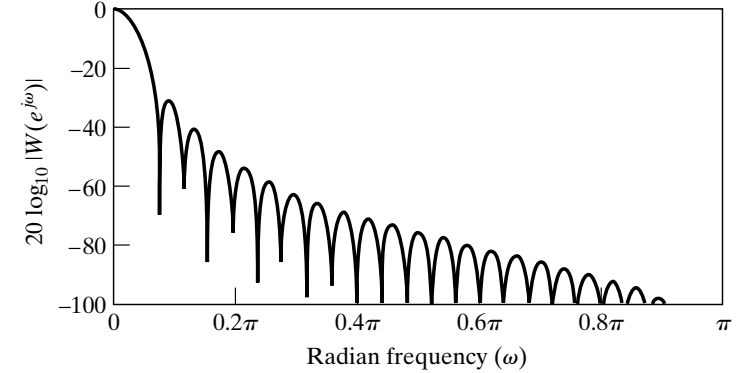
# Fourierova transformacija najčesće korištenih prozora (M=50)



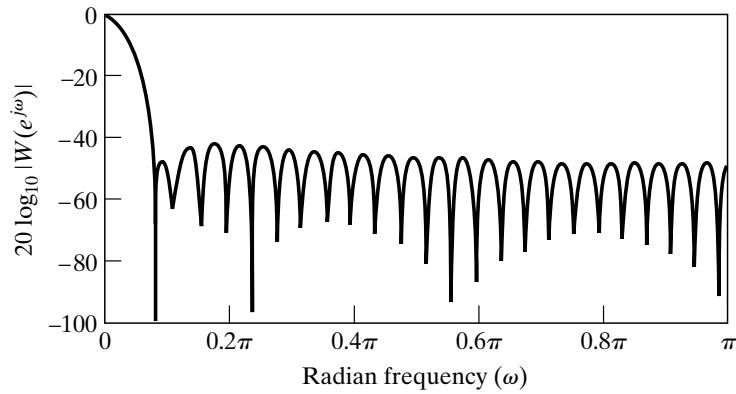
Pravougaoni



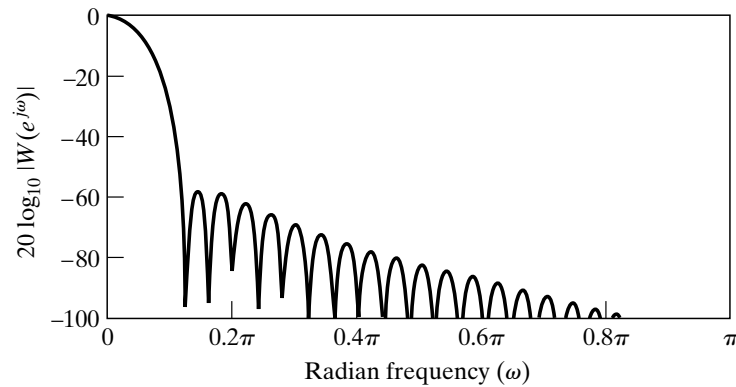
Bartlett



Hann



Hamming



Blackman

# Linearna faza FIR filtera

- Svi prozori su dizajnirani da ispune uvjet da imaju linearnu fazu.
- Svaki od prozora zadovoljava uslov

$$w[n] = \begin{cases} w[M - n], 0 \leq n \leq M \\ 0, \text{ za ostalo } n \end{cases}$$

- tj. **svi su simetrični u odnosu na tačku M/2.**
- Kao posljedicu imamo da su njihove Fourierove transformacije oblika

$$W(e^{j\omega}) = W_e(e^{j\omega}) \cdot e^{-j\omega M/2}$$

- gdje je  $W_e(e^{j\omega})$  realna parna funkcija od  $\omega$ .
- Ako je željeni impulsni odziv takođe simetričan u odnosu na tačku M/2, tj. ako je  $h_d[M - n] = h_d[n]$  tada impulsni odziv pomnožen sa prozorskom funkcijom takođe ima simetriju.

# Linearna faza FIR filtera

- Vrijedi:

$$H(e^{j\omega}) = A_e(e^{j\omega}) \cdot e^{-j\omega M/2}$$

- gdje je  $A_e(e^{j\omega})$  realna i parna funkcija od  $\omega$ .
- Ako je željeni impulsni odziv asimetričan u odnosu na  $M/2$ , tj.  $h_d[M - n] = -h_d[n]$ , tada će i impulsni odziv pomnožen sa prozorskom funkcijom takođe biti asimetričan u odnosu na  $M/2$  i rezultatni frekventni odziv će imati generaliziranu linearnu fazu sa faznim pomakom  $\pi/2$ :

$$H(e^{j\omega}) = jA_o(e^{j\omega}) \cdot e^{-j\omega M/2}$$

- gdje je  $A_o(e^{j\omega})$  realna i neparna funkcija od  $\omega$ .

# Pr: NF filter sa linearnom fazom

- Željeni frekventni odziv je

$$H_{lp}(e^{j\omega}) = \begin{cases} e^{-j\omega M/2}, & |\omega| < \omega_c \\ 0, & \omega_c < |\omega| < \pi \end{cases}$$

- gdje je generalizirana linearna faza uključena u definiciju idealnog NF filtera.
- Odgovarajući impulsni odziv je:

$$h_{lp}[n] = \frac{1}{2\pi} \int_{-\omega_c}^{\omega_c} e^{-j\omega M/2} \cdot e^{j\omega n} d\omega = \frac{\sin\left[\omega_c\left(n - \frac{M}{2}\right)\right]}{\pi\left(n - \frac{M}{2}\right)} \text{ za } -\infty < n < \infty$$

- Impulsni odziv je simetričan u odnosu na  $M/2$  i koristimo simetričan prozor da dobijemo filter sa linearnom fazom.

$$h[n] = \frac{\sin\left[\omega_c\left(n - \frac{M}{2}\right)\right]}{\pi\left(n - \frac{M}{2}\right)} \cdot w[n]$$

# Linearna faza

- Pretpostavimo simetriju  $h_d[M - n] = h_d[n]$ . Tada je

$$H_d(e^{j\omega}) = H_e(e^{j\omega}) \cdot e^{-j\omega M/2}$$

$H_d(e^{j\omega}) \rightarrow$  realna i parna funkcija

- Ako je prozor simetričan, vrijedi:

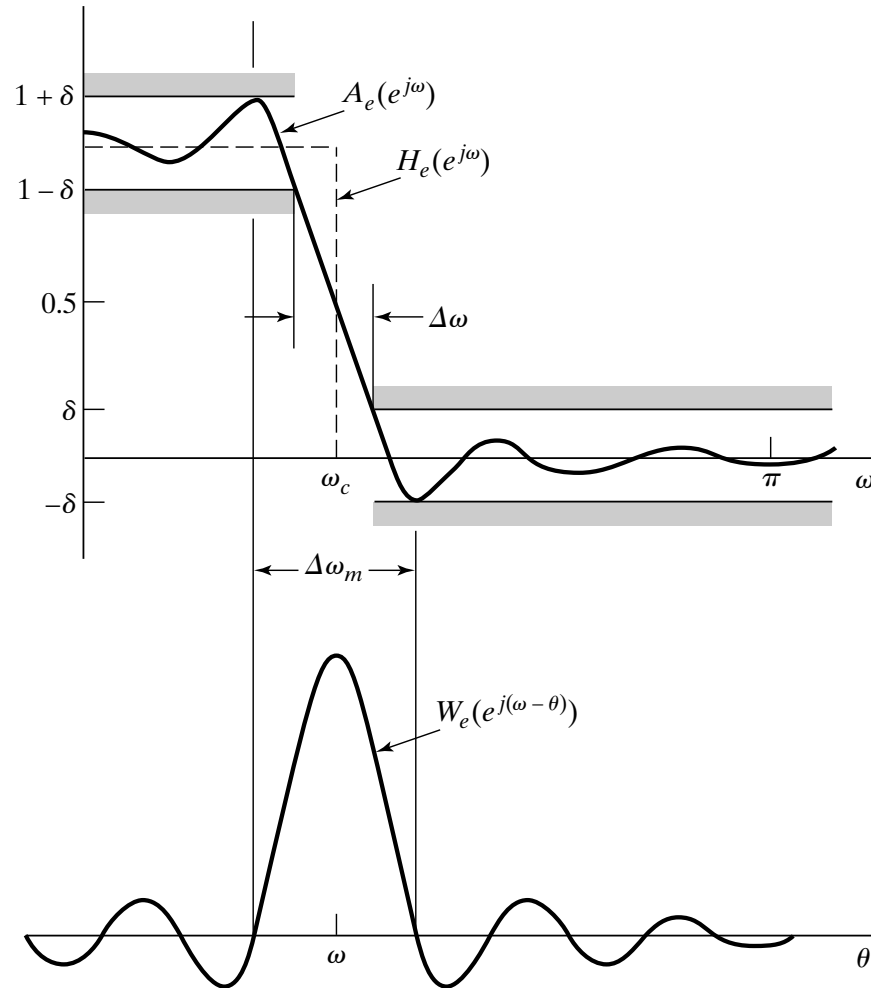
$$H(e^{j\omega}) = \frac{1}{2\pi} \int_{-\pi}^{\pi} H_e(e^{j\theta}) e^{-\frac{j\theta M}{2}} W_e(e^{j(\omega-\theta)}) e^{-\frac{j(\omega-\theta)M}{2}} d\theta$$

$$H(e^{j\omega}) = A_e(e^{j\omega}) \cdot e^{-j\omega M/2}$$

$$A_e(e^{j\omega}) = \frac{1}{2\pi} \int_{-\pi}^{\pi} H_e(e^{j\theta}) W_e(e^{j(\omega-\theta)}) d\theta$$

# Linearna faza

- Rezultantni sistem ima linearnu fazu a realna funkcija  $A_e(e^{j\omega})$  je rezultat konvolucije realnih funkcija  $H_e(e^{j\omega})$  i  $W_e(e^{j\omega})$ .





# Linearna faza

- Kada je simetrična funkcija  $W_e(e^{j(\omega-\theta)})$  centrirana u tački diskontinuiteta  $\omega = \omega_c$ , samo jedna njena polovina učestvuje u  $A_e(e^{j\omega})$ .
- Vrh (preskok) u  $A_e(e^{j\omega})$  prije tačke diskontinuiteta se događa kada je prva nula sa desne strane u  $W_e(e^{j\omega})$  zauzela poziciju  $\omega = \omega_c$ .
- Prvi minimum u  $A_e(e^{j\omega})$  se dogodi kada glavno krilo izađe iz propusnog opsega  $H_e(e^{j\omega})$ , tj. kada prva nula sa lijeve strane vrha glavnog krila u  $W_e(e^{j(\omega-\theta)})$  dođe u tačku  $\omega = \omega_c$ .
- **Rastojanje između dva vrha sa dvije strane diskontinuiteta je približno jednako širini glavnog krila (vidi prethodnu sliku).**
- Zbog simetrije  $W_e(e^{j(\omega-\theta)})$ , aproksimacija teži da bude simetrična oko  $\omega = \omega_c$ .

# Literatura

- A.V. Oppenheim, R.W. Schaffer, “Discrete-time signal processing”, *Prentice-Hall*, 2014.